

# اثر حرارت و آلاینده‌های (Mg<sup>++</sup>، Ca<sup>++</sup>) روی گل پلیمری XC در شرایط واقعی چاه

حمید سلطانیان

فارغ‌التحصیل کارشناس ارشد گروه مهندسی معدن - دانشکده فنی - دانشگاه تهران

جمال رستمی

استادیار گروه مهندسی معدن - دانشکده فنی - دانشگاه تهران

(تاریخ دریافت ۸۰/۱۰/۳، تاریخ تصویب ۸۱/۷/۲۰)

## چکیده

با توجه به پیشرفت علوم به ویژه تکنولوژی گل حفاری و نیز هزینه‌های زیادی که در آنها صرف می‌شود، بهینه سازی و کنترل خواص سیالیت گل‌های حفاری جهت افزایش راندمان گل حفاری و کاهش هزینه‌های مربوطه با توجه به پیشرفت علوم بیوژن مواد جدید و درک بهتر فرایند حفاری و همچنین قابلیت مدل‌سازی فیزیکی و کامپیوتری امری ضروری می‌باشد. مشخصات فیزیکی و کارآی گلهای متداول در حفر چاههای عمیق تحت دما و آلاینده‌های زیاد تغییر نموده و گل قادر به انجام وظایف اصلی در حمل مواد حفر شده نمی‌باشد، جهت تصحیح این خواص می‌توان از راههای مختلفی استفاده نمود و یکی از روش‌های بهبود خواص گلهای استفاده از پلیمرها در گل حفاری می‌باشد. در این مقاله تأثیر دو نوع پلیمر XC و PHPA بر رفتار رئولوژیکی و فیزیکی گل پایه آبی و تأثیر دما بر روی گل بنتونیتی و گلهای پلیمری (تهیه شده با آبهای مختلف) و همچنین تأثیر دو نوع آلاینده CaCO<sub>3</sub> و MgSO<sub>4</sub> (که اصولاً همراه با آب دریا هستند و یا از طریق سیمان کاری چاه و سازندها وارد گل می‌شوند) بر رفتار و خواص گل مذکور مورد مطالعه قرار می‌گیرد. برای ایجاد شرایط واقعی چاه و امکان اعمال فشار و دمای بالا، از دستگاه گرانزوی سنج دوار Fann مدل C ۵۰ در آزمایشات و مطالعات رئولوژی استفاده شده است.

نتایج بدست آمده از آزمایشات نشان می‌دهد که پلیمرهای XC و PHPA در مقابل نمکهای محلول در سیستم ایجاد گرانزوی کرده و در برابر انواع آلودگی‌ها مقاوم می‌باشند و در سرعت برشی بالا، مشخصات اولیه گرانزوی را حفظ می‌نمایند. همچنین افزایش دما در گل بنتونیتی باعث افزایش تنفس برشی و در گلهای پلیمری XC و PHPA باعث کاهش آن می‌گردد و فقط در گل پلیمری XC تهیه شده با آب نمک اشباع تغییرات گرانزوی از روند مشخصی تعیین نمی‌کند.

## واژه‌های کلیدی: گرانزوی، تنفس برشی، افت صافی، نقطه واروی

## مقدمه

حفاری ایده‌آل می‌بایست در برابر آلودگی‌های مختلف مخصوصاً کلسیم و منیزیم پایدار باشد [۲]. محدودیتهای فراوان و عدم کارآیی مناسب گل‌های حفاری بنتونیتی موجب می‌شود سیالات دیگری بعنوان جایگزین آنها مد نظر قرار گیرند. از این‌رو استفاده از گلهای پلیمری مورد مطالعه و آزمایش قرار گرفته است که علاوه بر ایجاد گرانزوی در سیستم، در برابر آلودگی‌های مختلف پایدار و بخوبی افت صافی را کنترل می‌نماید. گلهای پلیمری ممکن است فقط از پلیمرها و مواد وزن افزا ساخته شده باشند و یا برای رسیدن گل به مقداری مناسب از نظر ویسکوزیته و قدرت ژله‌ای، از مقداری بنتونیت پیش

تجارب گذشته حفاری نشان می‌دهد که گل حفاری بنتونیتی به رغم کنترل و ایجاد خواص سیالیت، در شرایطی خاص قادر به حفظ خواص مطلوب نبوده و بعضًا موجب ایجاد اشکالاتی در امر حفاری و کاهش راندمان آن می‌شود. افزایش سرعت حفاری نیاز به سیالی دارد که در سرعتهای برشی و حرارت زیاد (در انتهای ستون حفاری و نازلهای سرمه‌های حفاری) از کمترین گرانزوی و در فضای حلقوی از گرانزوی بهینه برخوردار باشد تا بتوانند این ابهیت بیرون چاه هدایت نموده و هنگام این گرانزوی از ریزش و بازگشت سته جلوگیری نماید. همچنین گل

حفاریهای بدون رس و بهبود کار گل‌های حفاری در آورده است [۸].

PHPA اغلب برای معرفی پلیمر پلی اکریل آمید- پلی اکریلات بکار می‌رود و محصول نهائی آن پلیمری است که از پلیمریزاسیون پلی اکریل آمید- پلی اکریلات حاصل می‌شود. خصوصیات PHPA تابعی از وزن ملکولی و نسبت گروه کربوکسیل به گروه آمید می‌باشد. پلی اکریل آمید به تنها یی در آب نامحلول است، بنابراین باید با اکریلات سدیم کوبولیمر شود تا در آب قابل حل گردد. نسبت پلی اکریلات سدیم به اکریل آمید در شروع پروسه نسبت دو گروه فعال را در پلیمر بدست آمده تعیین می‌کند. با توجه به اتصال کربن- کربن، این پلیمر پایداری حرارتی بالا داشته و در برابر باکتری مقاوم است. بعلاوه از آنجا که PHPA آنیوتیک است می‌تواند تحت تاثیر سطوح کاتیونی مانند سطوحی که در رس وجود دارد قرار گیرد [۱۲].

### آلاینده‌ها

آلوده کننده به موادی اطلاق می‌شود که بطور ناخواسته وارد سیستم گل شده و تغییراتی در خواص سیالیت آن ایجاد می‌کنند (مانند یونهای کلسیم و منیزیم)، بطور خلاصه می‌توان منشاء آلودگی‌های سیستم گل حفاری را به شرح زیر بیان کرد [۳].

- ۱- آلودگی ناشی از سیمان کاری چاه
- ۲- آلودگی ناشی از مواد شیمیایی که برای بهبود گل حفاری به آن افروده می‌شوند.

۳- آلودگی ناشی از مواد جامد سازندهای در حال حفاری مانند سنگهای گچی و رسی.

برای بررسی اثر یون‌های کلسیم و منیزیم روی گل‌های پلیمری XC و PHPA آزمایشاتی با مقادیر مختلف از  $\text{CaCO}_3$  و  $\text{MgSO}_4$  انجام شده است.

هدف اصلی این مطالعه، بررسی پلیمرها در شرایط دمای بالا و در حضور آلاینده‌های ( $\text{Ca}^{++}$ ,  $\text{Mg}^{++}$ ) می‌باشد تا بتوان پلیمر مناسبی (از میان پلیمرهای مختلف) که در شرایط فوق مقاوم بوده و همچنین بتواند خواص سیال را در حد مطلوبی نگه دارد مشخص و انتخاب گردد. لذا پلیمرهای XC و PHPA مختلفی را که توسط شرکتهای

هیدراته (به دلیل کاهش هزینه و بهبود وضعیت افت صافی) استفاده شود [۷].

### پلیمرهایی که در گل حفاری استفاده می‌شوند

#### ۱- پلیمرهای بسط دهنده

که شامل سدیم پلی اکریل هستند. معروفترین این نوع پلیمر، پلی اکریل آمید بطور جزئی هیدرولیز شده (PHPA) می‌باشد.

#### ۲- پلیمرهای کلوفیدی

شامل سدیم کربوکسی متیل سلولز (CMC) و هیدرولیکسی اتیل سلولز (HEC) و نشاسته است.

#### ۳- پلیمرهای با زنجیره طولانی

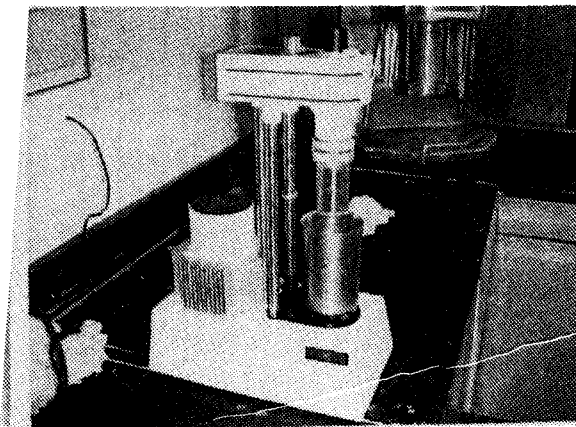
که از پلیمرهای حیوانی بوده و بخوبی در آب حل می‌گردد. معروفترین آن زانتان (XC) است. پلیمرها در بیشتر انواع گل‌های حفاری برای کنترل خواص ویسکوزیته، افت صافی، بعنوان منعقد کننده، پراکننده کننده، بازدارنده شیل و همچنین جهت روانکاری استفاده می‌شوند [۱۰].

### ساختار پلیمرهای XC و PHPA

ساختار این پلیمرها به صورت خطی، شاخه‌دار یا شبکه‌بندی می‌شود. پلیمرهای خطی شامل CMC (کربوکسی متیل سلولز)، PHPA (پلی اکریل آمید هیدرولیز شده جزئی)، HEC (هیدرولیکسی اتیل سلولز) و پلیمرهای شاخه‌دار شامل نشاسته و صمع گزانتان می‌باشد [۸].

زانتان (XC) یک پلیمر طبیعی، محلول در آب بوده و دارای ساختار شاخه‌ای با وزن ملکولی ۲-۳ میلیون و بصورت آنیونیک می‌باشد. پلیمر زانتان، ساختارهای ژل مانند ایجاد می‌کند و هرچه برش زیاد باشد ویسکوزیته آن کاهش پیدا می‌کند<sup>۱</sup>. وقتی عمل برش متوقف می‌شود ویسکوزیته اولیه آن دوباره بازیافت می‌شود. در سرعتهای بالای برش، ویسکوزیته گل کاهش می‌یابد و در سرعتهای کم برش باندهای هیدروزئی دوباره تشکیل می‌شود و چسبندگی دوباره افزایش پیدا می‌کند. غلظت مورد استفاده از زانتان برای ایجاد خصوصیات تیکسوتروپیک بستگی به آب مورد استفاده دارد. زانتان ویژگیهای متعددی دارد که آنرا بصورت یک پلیمر ایده‌آل برای

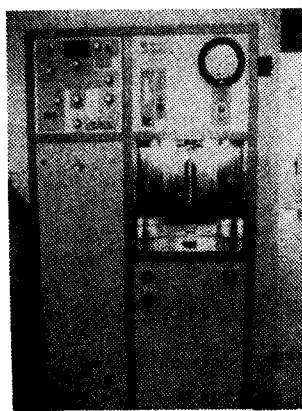
ساخت کارخانه فن می باشد که در آزمایشگاه از آن استفاده می شود. این مدل می تواند در شش سرعت ۳، ۶، ۱۰۰، ۲۰۰، ۳۰۰ و ۶۰۰ دور در دقیقه کار کند [۴].



شکل ۱: دستگاه گرانزوی سنج دوار مدل ۳۵.

## ۲- گرانزوی سنج دوار مدل C ۵۰

این مدل از نظر نحوه طراحی شبیه مدل ۳۵ است. با این برتری که با استفاده از این دستگاه می توان شرایط واقعی چاه یعنی درجه حرارت و فشار بالا را بر روی نمونه اعمال و تغییرات و بسکوژیته را بر حسب شدت برش بدست آورد [۴].



شکل ۲ : دستگاه گرانزوی سنج دوار مدل ۵۰ سی.

## ۳- دستگاه فیلتر پرس

با استفاده از این دستگاه می توان مقدار افت صافی سیال را در شرایط استاندارد تعیین کرد. موادی که در آزمایشات مورد استفاده قرار گرفتند شامل بنتونیت، رس نمکی، آب مقطر، آب دریا، آب نمک اشباع، پلیمر XC،

باروید: بیکرنگوبار و MI تولید شده بطور مجزا مورد آزمایش قرار گرفته و از بین آنها بهترین نوع PHPA و XC (تولید شده از شرکت بیکر) را که در درجه حرارت بالا و در حضور آلاینده ها توان حفظ خواص خود را دارند انتخاب و آزمایشات تکمیلی بر روی این دو نوع پلیمر ادامه یافت.

در صنعت نفت ایران این تحقیقات برای اولین بار مورد مطالعه قرار گرفته و در سایر کشورها نیز تنها استفاده از این مواد پلیمری بطور محدود در حال مطالعه و انجام است.

## تجهیزات و مواد مورد استفاده

تجهیزات مهم مورد استفاده عبارتند از:

### ۱- گرانزوی سنج دوار مدل ۳۵

اطلاعات دقیق تر درباره گرانزوی و کنترل آن را می توان بوسیله دستگاه گرانزوی سنج دوار، بدست آورد. این دستگاه که گرانزوی را بر حسب سانتی پویز، اندازه گیری می کند، می تواند دلیل غیر عادی بودن و علت تغییرات گرانزوی را هم تعیین کند. گرانزوی سنج دوار همچنین می تواند، استحکام ژله ای (قدرت ژله ای شدن) گل، را هم اندازه گیری کند. بطور کلی گرانزوی سنج دوار در مطالعه سیالات کمپلکس، ظییر آنها که از خود آثار تیکسوتروپیک<sup>۳</sup> نشان می دهند بکار می رود. در این دستگاه، سیال مورد آزمایش در فضای حلقوی بین دو استوانه هم محور، محصور شده و همواره تحت یک نرخ نیروی برشی یکنواخت و دقیق قرار می گیرد. استوانه توخالی بیرونی، با سرعت دورانی ثابت به گردش در می آید و گشتاور ناشی از نیروی بازدارنده گرانزوی سیال که در اثر چرخش استوانه بیرونی ایجاد می شود، روی استوانه توپر درونی اعمال می شود. این گشتاور بوسیله یک فنر حلزونی گرد، بالانس می شود. انحراف عقریه را (که ناشی از گشتاور وارد بر استوانه درونی است) هم می توان مستقیماً روی یک صفحه مدرج منتقل کرد و هم می توان آنرا روی یک دستگاه ثبات، ثبت نمود. در گرانزوی سنج اندازه تنش برشی مناسب با دور بر دقیقه استوانه خارجی می باشد. گرانزوی سنج دوار در نمونه ها و مدل های مختلفی عرضه شده است. رایج ترین آنها VG meter مدل ۳۵

تیکسوتروبیک گل است. این سنجش، سنجش نیروی جاذبه ملکولی، تحت شرایط ساکن یا استاتیک است. هنگامی که نقطه واروی کاهش می‌یابد، قدرت ژله‌ای نیز عموماً کم می‌شود. ولی کم بودن نقطه واروی، لازمه آن نیست که قدرت ژله‌ای باید صفر باشد [۲].

**تعیین مقادیر نقطه واروی، ویسکوزیته ظاهری و ویسکوزیته پلاستیکی در آزمایشگاه**  
برای نشان دادن خواص رئولوژیکی گل‌های حفاری غالباً مدل پلاستیک بینگهام بکار می‌برد. معادله ریاضی این مدل به صورت زیر است [۲].

$$SS = S.S|_{SR=0} + P.V \times S.R \quad (2)$$

$$S.S|_{SR=0} = Y_p \quad (3)$$

وقتی از دستگاه گرانروی سنج دوار Fann استفاده می‌شود SR متناسب با rpm (دور در دقیقه) و متناسب با dial reading (درجه انحراف) دستگاه است در این صورت معادله فوق به شکل زیر در می‌آید:

$$\theta = Y_p + PV \times \frac{\omega}{300} \quad (4)$$

معادله فوق نشان می‌دهد که درجه انحراف " $\theta$ " تابعی از سرعت دوران یا  $(\omega)$  است ( $PV$  و  $Y_p$  پارامترهای معادله هستند).

برای بدست آوردن مقادیر این پارامترها کافی است به ازاء دو مقدار دلخواه از  $(\omega)$  مقادیر متناظر  $\theta$  اندازه‌گیری شده و سپس با داشتن دو معادله و دو مجهول، ضرایب مربوطه محاسبه گردد [۲].

$$\omega_1 = 600 \text{ rpm} \rightarrow \theta = \theta_{600}$$

$$\omega_2 = 300 \text{ rpm} \rightarrow \theta = \theta_{300}$$

$$\omega_{600} = Y_p + PV \times \frac{600}{300} \quad (5)$$

$$\omega_{300} = Y_p + PV \times \frac{300}{300} \quad (6)$$

از حل معادلات بالا خواهیم داشت:

$$PV = \theta_{600} - \theta_{300} \quad (7)$$

پلیمر PHPA، کربنات کلسیم و سولفات منیزیم می‌باشد.

### مدل پلاستیک بینگهام

مدلی که اغلب برای نشان دادن خواص جریان یک گل حفاری مورد استفاده قرار می‌گیرد، مدل پلاستیک بینگهام است. این مدل نشان می‌دهد که یک نیروی اولیه برای حرکت در آمدن سیال لازم است که بعد از اعمال این نیرو یک نرخ ثابت تنفس برشی با افزایش نرخ نیروی برشی مشاهده می‌گردد. معادله این مدل بصورت زیر است:

$$SS = Y_p + PV \times SR \quad (1)$$

که در آن  $SS$  تنفس برشی<sup>۴</sup>،  $SR$  نرخ نیروی برشی<sup>۵</sup>،  $Y_p$  نقطه واروی<sup>۶</sup> و  $PV$  گرانروی پلاستیکی<sup>۷</sup> می‌باشد. واحد  $\frac{lbf}{100ft^2}$  گرانروی پلاستیکی سانتی پویز و نقطه واروی می‌باشد [۲].

### مفاهیم پارامترهای اندازه‌گیری شده

#### ۱- گرانروی پلاستیکی (PV)

گرانروی پلاستیکی، بخشی از مقاومت مقابله جریان است که بر اثر اصطکاک مکانیکی بوجود می‌آید [۲]. این اصطکاک ناشی از عوامل ذیل می‌تواند باشد:

الف) برخورد جامدات با یکدیگر

ب) برخورد جامدات با مایعی که آنها را محاط می‌کند.

ج) اصطکاک ناشی از حرکت لایه‌های سیال روی یکدیگر.

#### ۲- نقطه واروی (Y<sub>p</sub>)

یکی دیگر از اجزاء مقاومت در برابر جریان در گل حفاری، نقطه واروی می‌باشد. در سیالاتی که از نوع پلاستیکی بوده یا از قانون بینگهام پلاستیک تعیین می‌کنند، برای به حرکت در آوردن سیال، از زمانی که فشاری بر مایع وارد می‌شود تا هنگامی که فشار به نقطه‌ای برسد که در آن نقطه مایع شروع به حرکت کند، آن نقطه را نقطه واروی می‌گویند [۲].

#### ۳- قدرت ژله‌ای (GL)

سنجدش قدرت ژله‌ای، مشخص کننده خاصیت ماسیدن یا

دقیقه و در بعضی موارد ۷/۵ دقیقه صورت می گیرد.  
 ۲- فیلتراسیون استاندارد دما و فشار بالا که در شرایط  $500\text{ psi}$  و دمای  $300^{\circ}\text{F}$  و ظرف مدت ۳۰ دقیقه انجام می شود.  
 لازم به تذکر است که جهت بدست آوردن داده های مربوط به هر کدام از نمونه ها دستگاه کالیبره شده است و خطای ناشی از آزمایش بسیار جزئی و قابل اغماض می باشد.

### تأثیر غلظت های مختلف از آلاینده های روی خواص گل پلیمری (Mg<sup>++</sup>, Ca<sup>++</sup>) با آب نمک اشباع XC و PHPA

در این سری از آزمایشات از دو نوع آلاینده سازنده وارد گل می شوند (یا اینکه نوع آب مورد استفاده وجود دارند) استفاده گردیده است تا نمونه گل مورد آزمایش به حالت واقعی نزدیکتر باشد. در این آزمایشات غلظت های مختلف آلاینده بر روی گل پایه که مشکل از ۲۱ پوند بر بشکه رس نمکی و  $35^{\circ}\text{C}$  آب PHPA نمک اشباع و مقادیر مختلف از پلیمر XC یا شرکت بیکر (۱ تا ۴ گرم) می باشد استفاده گردیده است. علت استفاده از آب نمک اشباع در این آزمایشات متداول بودن این ترکیب در حفاری چاهها بوده و بدین ترتیب می توان تمامی مشکلات استفاده از پلیمرها در این نوع گل را مورد آزمایش قرار داد.

شکل (۳) و (۴) تاثیر مقدار آلاینده ها را روی گرانزوی ظاهری گل پلیمری XC و PHPA را نشان می دهند. همانطور که از شکل پیداست با افزایش مقدار پلیمر مصرفی و آلاینده ها گرانزوی ظاهری افزایش می یابد. این دو شکل بخوبی نشان میدهند که پلیمرهای XC و PHPA در مقابل آلاینده ها مقاوم هستند چون در غیر اینصورت پلیمرهای XC و PHPA به دلیل آنیونی بودن با یونهای کاتیونیک موجود در سیستم ( $\text{Mg}^{++}$  و  $\text{Ca}^{++}$ ) پیوند برقرار نموده و باعث رسوب دادن پلیمرها و در نتیجه باعث کاهش در گرانزوی ظاهری می شدند.

شکل (۵) و (۶) تاثیر مقدار آلاینده ها روی گرانزوی پلاستیکی گل را نشان می دهند که با افزایش مقدار پلیمر مصرفی گرانزوی پلاستیکی گل های پلیمری XC و

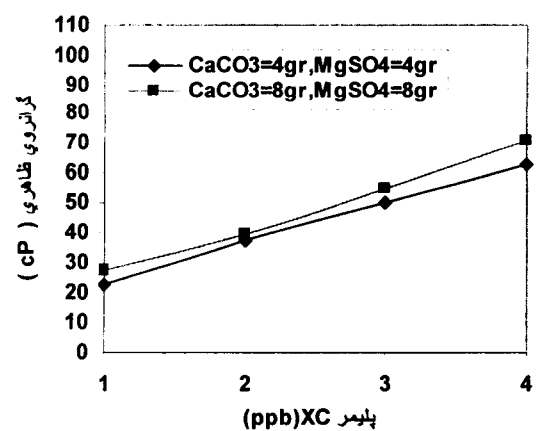
$$Y_P = \theta_{300} - PV \quad (8)$$

بنابراین تعریف ویسکوزیته ظاهری  $(AV)$  عبارتست از  $\text{rpm}$  معادل SR در  $600\text{ rpm}$  اگر درجه انحراف برای  $600\text{ rpm}$  را  $\theta_{600}$  مقادیر در فرمول زیر قرار داده شود آنگاه مقدار ویسکوزیته ظاهری به صورت زیر بدست می آید.

$$AV = U_e \Big|_{SR=600\text{ rpm}} = 300 \times \frac{\text{dial reading}}{\omega} = \\ 300 \times \frac{\theta_{600}}{600} = \frac{1}{2} \theta_{600} \quad (9)$$

### اندازه گیری افت صافی<sup>۹</sup> (FL) گل و خاصیت اندود کردن دیواره

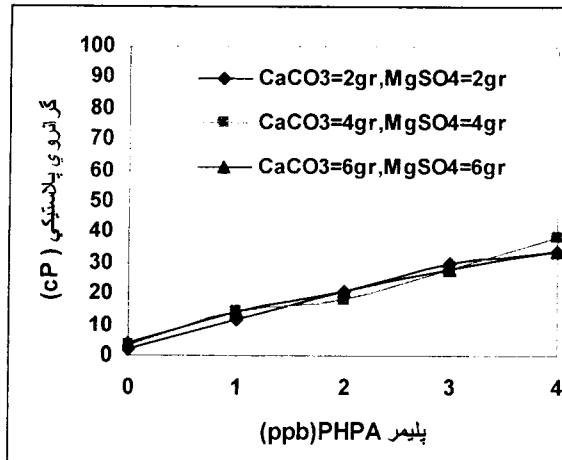
افت صافی یا خاصیت اندود کردن دیواره چاه بوسیله دستگاه فیلتر پرس بررسی و تعیین می شود. آزمایش به این طریق است که سرعت عبور فاز مایع گل حفاری از یک کاغذ صافی استاندارد، تحت شرایط ویژه از فشار، درجه حرارت، زمان و همچنین ضخامت اندودی که گل در اثر فیلتراسیون ظرف این مدت روی کاغذهای صافی بجا می گذارد اندازه گیری می شود [۳]. فیلتراسیون گلهای حفاری را معمولاً تحت دو شرایط متفاوت اندازه گیری می کنند.



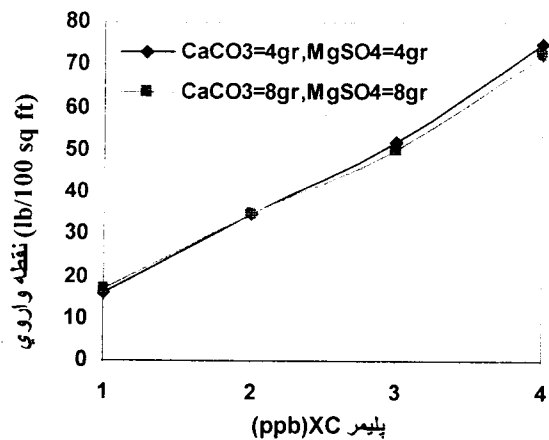
شکل ۳: اثر آلاینده ها بر گرانزوی ظاهری گل پلیمری XC.

۱- فیلتراسیون استاندارد API که در شرایط  $100\text{ psi}$  و دمای اتاق و ظرف مدت ۳۰

و افزایش آلاینده‌ها تاثیر چندانی در خواص نقطه واروی گل ندارد و همچنین شکل (۸) نشان می‌دهد که با افزایش مقدار آلاینده‌ها در حالتی که مقدار پلیمر مصرفی در حدود یک پوند بر بشکه می‌باشد تقریباً بی تاثیر است ولی در مقادیر بیشتر از یک پوند بر بشکه از روند خاصی تعیین نمی‌کند.

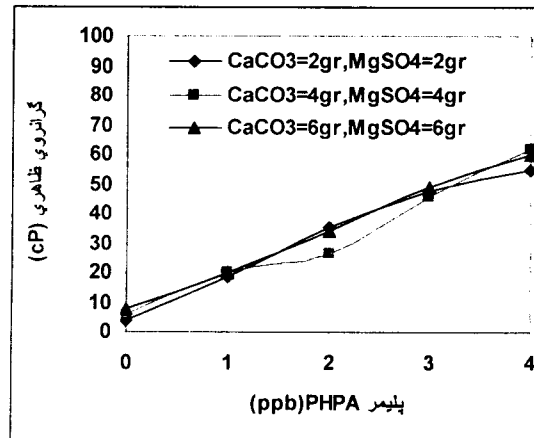


شکل ۶: اثر آلاینده‌ها بر گرانزوی پلاستیکی گل پلیمری P(HPA).



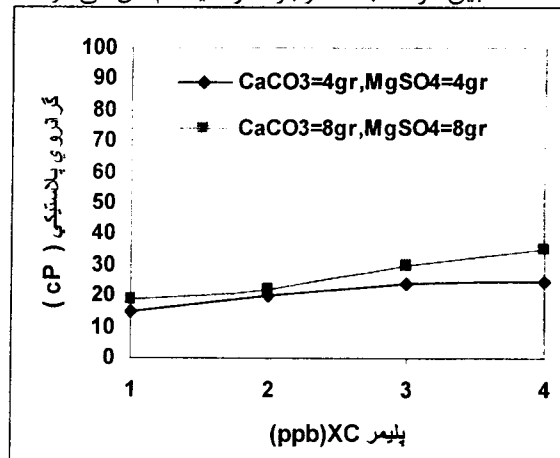
شکل ۷: اثر آلاینده‌ها بر نقطه واروی گل پلیمری XC.

شکل (۹) و (۱۰) تاثیر غلظت‌های مختلف آلاینده‌ها و پلیمرهای XC و P(HPA) را بر روی افت صافی نشان می‌دهد. همانگونه که از شکل (۹) پیداست با افزایش مقدار پلیمر XC و آلاینده‌ها افت صافی ثابت بوده و همچنین شکل (۱۰) نشان می‌دهد که با به کار بردن یک پوند بر بشکه از پلیمر P(HPA) افت صافی بشدت کاهش



شکل ۴: اثر آلاینده‌ها بر گرانزوی ظاهری گل پلیمری P(HPA).

P(HPA) افزایش می‌یابد و همچنین با افزایش مقدار آلاینده‌ها برای گل پلیمری XC (شکل ۵) مقدار گرانزوی پلاستیکی افزایش می‌یابد که دلیل آن بالا رفتن درصد جامدات موجود در گل می‌باشد. برای گل پلیمری P(HPA) این افزایش گرانزوی بسیار جزئی بوده و این روند کاملاً هم منطبقی بنظر می‌رسد. علت این رفتار به خاطر ساختار ملکولی پلیمر P(HPA) می‌باشد که موجب کاهش اصطکاک بین ذرات جامد موجود در سیستم گل می‌شود.



شکل ۵: اثر آلاینده‌ها بر گرانزوی پلاستیکی گل پلیمری XC.

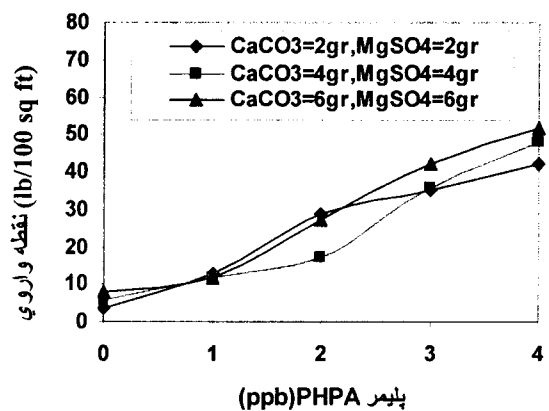
شکل (۷) و (۸) نیز تاثیر غلظت‌های مختلف از پلیمرهای XC و P(HPA) و آلاینده‌ها روی خواص نقطه واروی را نشان می‌دهد. همانگونه که از نمودار شکل (۷) پیداست افزایش پلیمر XC باعث افزایش نقطه واروی سیال می‌شود

## اثر حرارت بر گل بنتونیتی و گل های پلیمری PHPA و XC

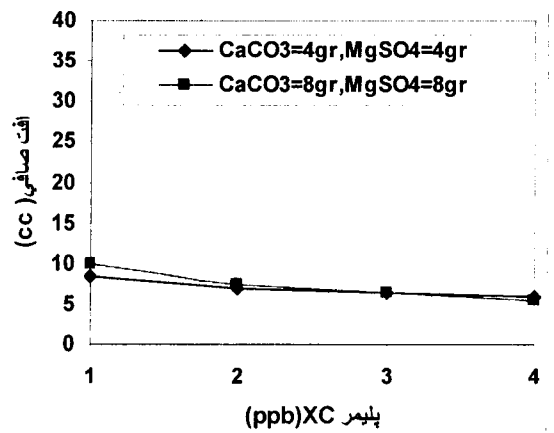
تغییر خواص گل (گل بنتونیتی، گل پلیمری XC و گل پلیمری PHPA) در پنج دمای ۸۰، ۱۵۰، ۲۰۰، ۲۵۰ و ۳۰۰ درجه فارنهایت بررسی شده است. آزمایش خواص گل در این دماها توسط دستگاه گرانروی سنج C مدل Fann ۵۰ انجام شد. در این آزمایش گل بنتونیتی متشكل از ۱۰ پوند بر بشکه بنتونیت و ۳۵۰  $\text{CC}$  آب مقطر می باشد، و گل پلیمری XC و PHPA هر کدام در سه نمونه تهیه شده که نمونه اول آن متشكل از ۱۰ پوند بر بشکه بنتونیت، ۳۵۰ آب مقطر و یک پوند بر بشکه رس نمکی، ۳۵۰ آب دریا و یک پوند بر بشکه پلیمر پلیمر و نمونه سوم آن متشكل از ۱۰ پوند بر بشکه رس نمکی، ۳۵۰ آب نمک اشباع و یک پوند بر بشکه پلیمر می باشد.

براساس نتایج آزمایشات در شکل (۱۱) افزایش دما باعث افزایش تنش برشی (با افزایش تنش برشی گرانروی ظاهری، گرانروی پلاستیکی و نقطه واروی افزایش می یابد، چون سه پارامتر فوق تابعی از تنش برشی می باشد) در گل بنتونیتی می گردد. این در حالی است که در مورد گل های پلیمری XC و PHPA با آبهای مختلف (شکل ۱۲ تا ۱۷) به جزء گل پلیمری XC با آب نمک اشباع (که جهت گیری مشخص مشهود نبوده) روند تغییرات عکس گل های بنتونیتی و کاهشی است. علت افزایش تنش برشی در گل بنتونیتی، افزایش بی نظمی در سیستم ساختار مولکولی در رسها شده و لذا با بهم خوردن اتصال صفحات رسی، صفحات بصورت لب به لب یا لب به رویه قرار گرفته و پدیده کلوخهای شدن بوجود می آید که این امر باعث افزایش گرانروی گل و در نتیجه موجب کاهش راندمان حفاری می گردد. علت کاهش تنش برشی در گل های پلیمری PHPA و گل های پلیمری XC با آب دریا و آب مقطر آن است که با افزایش دما اتصالات بین پلیمر و ذرات رسی شکسته شده و در واقع مولکولها در فاز مایع پخش می گردند که این امر باعث کاهش گرانروی یا تنش برشی و در نتیجه موجب افزایش راندمان حفاری می گردد.

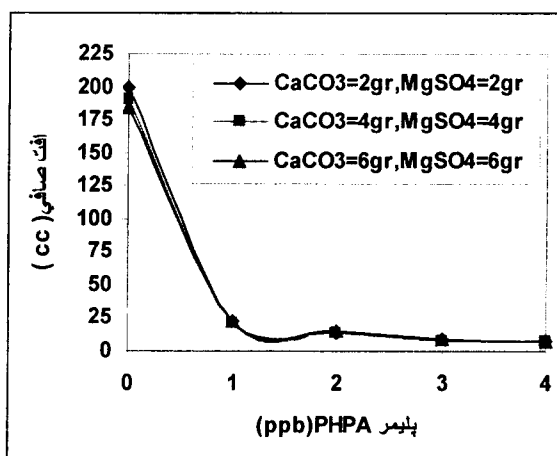
می یابد و مصرف بیشتر از آن تاثیری بر کاهش افت صافی ندارد و با افزایش آلایندهها افت صافی ثابت می باشد.



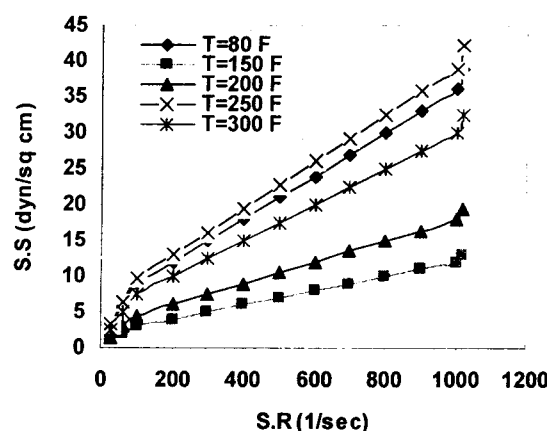
شکل ۸: اثر آلاینده ها بر نقطه واروی گل پلیمری PHPA.



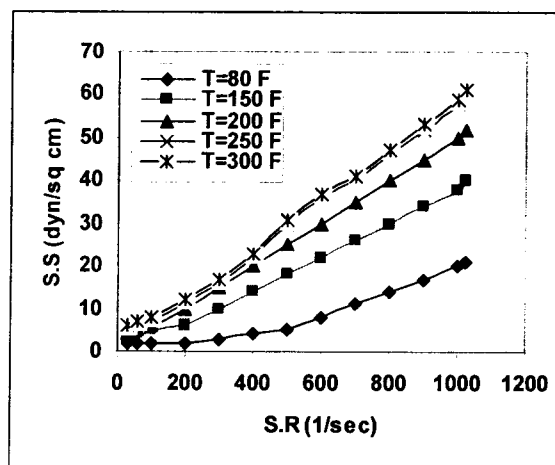
شکل ۹: اثر آلاینده ها بر افت صافی گل پلیمری XC.



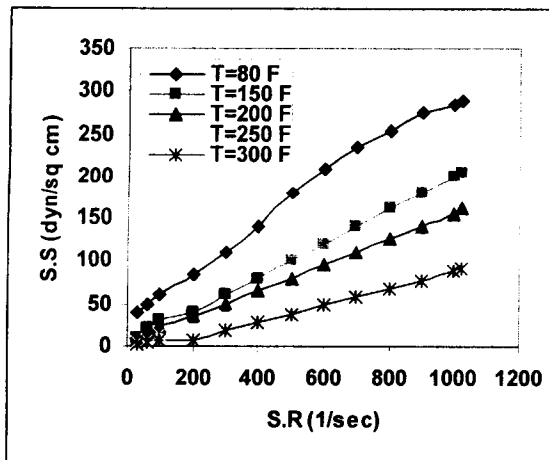
شکل ۱۰: اثر آلاینده ها بر افت صافی گل پلیمری PHPA.



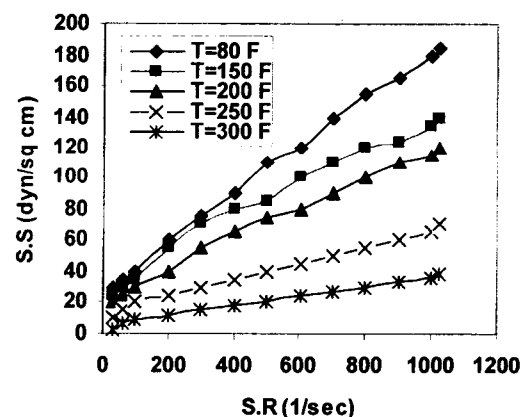
شکل ۱۴: اثر حرارت بر منحنی جریان گل پلیمری XC در فشار ثابت P=200psi (گل با آب نمک اشباع).



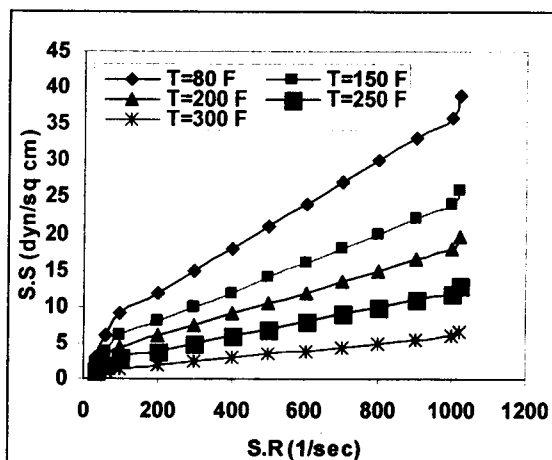
شکل ۱۱: اثر حرارت بر منحنی جریان گل بنتونیتی در فشار ثابت P=200psi (گل با آب نمک اشباع).



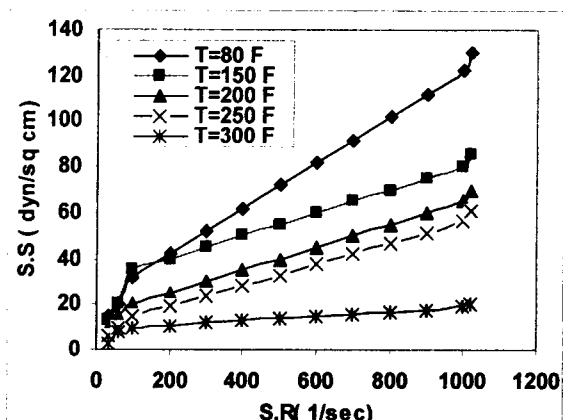
شکل ۱۵: اثر حرارت بر منحنی جریان گل پلیمری PHPA در فشار ثابت P=200psi (گل با آب مقطر).



شکل ۱۲: اثر حرارت بر منحنی جریان گل پلیمری XC در فشار ثابت P=200psi (گل با آب مقطر).



شکل ۱۶: اثر حرارت بر منحنی جریان گل پلیمری PHPA در فشار ثابت P=200psi (گل با آب دریا).

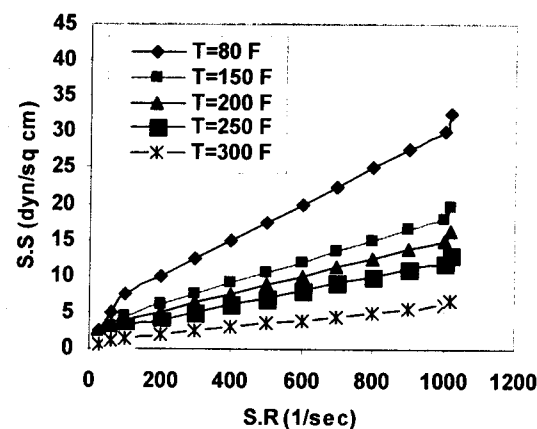


شکل ۱۳: اثر حرارت بر منحنی جریان گل پلیمری XC در فشار ثابت P=200psi (گل با آب دریا).

۳- پلیمر های XC و PHPA در مقابل نمکهای محلول در سیستم ایجاد گرانزوی کرده و در برابر آلاینده های  $Mg^{++}$ ،  $Ca^{++}$  مقاوم می باشند و همچنین با افزایش مقدار پلیمر مصرفی به گل پایه خواص رئولوژیکی و تیکسوتروپیک گل بهبود می یابد.

۴- براساس نتایج بدست آمده، پلیمر های XC و PHPA تولید شده از شرکت بیکر ماده افزودنی خوبی برای اصلاح خواص رئولوژی گل حفاری در شرایط دماهای بالا و حضور آلاینده ها می باشد. به طور کلی گلهای تهیه شده از پلیمر های XC و PHPA رفتار سیال و خواص بهتری جهت استفاده در گلهای حفاری برای استفاده در چاههای عمیق و تحت شرایط دما و فشار بالا از خود نشان داده و می توان از این ماده در آینده در مقیاس صنعتی جهت استفاده در عملیات حفاری در کشور استفاده نمود.

فهرست علائم	
$\omega$	: سرعت دوران (rpm)
$\theta$	: درجه انحراف (dial reading)
$\mu e$	: گرانزوی (سانتی پواز cP)
API	: استاندارد انجمن بین المللی نفت آمریکا
cP	: ویسکوزیته پلاستیکی (سانتی پواز cP)
AV	: ویسکوزیته ظاهری (سانتی پواز cP)
$Y_p$	$\left( \frac{lb_f}{100ft^2} \right)$
FL	: افت صافی (سی سی)
$SS$	$\left( \frac{lb_f}{100ft^2} \right)$
SR	: نرخ برش ( $S^{-1}$ )



شکل ۱۷: اثر حرارت بر منحنی چربیان گل پلیمری PPHPA در فشار ثابت  $P=200\text{psi}$  (گل با آب نمک اثبات).

### نتیجه گیری

با توجه به هدف اولیه مطالعات و نتایج آزمایشات انجام شده بر روی گلهای حفاری با استفاده از پلیمر های XC و PHPA بصورت زیر خلاصه می گردد.

۱- گلهای بنتونیتی موجود و متداول حفاری تحت شرایط دما و فشار بالا خواص خود را از دست داده و نتیجتاً راندمان عملیات حفاری را کاهش داده و بعضی می توانند باعث ایجاد مشکلات و تحمل هزینه های زیادی به حفاری شوند. استفاده از انواع خاصی از پلیمرها جهت تنظیم خواص مهم گل حفاری می تواند در این زمینه راهگشا بوده و از وقوع این مشکلات جلوگیری بعمل آورد.

۲- افزایش دما برای گل بنتونیتی باعث افزایش تنش برشی و در نتیجه موجب افزایش نقطه واروی، گرانزوی ظاهری و خواص ژله ای گل می گردد و راندمان عملیات حفاری را کاهش می دهد اما در مورد گلهای پلیمری XC و PHPA روند تغییرات عکس گلهای بنتونیتی و کاهشی است و موجب افزایش راندمان حفاری می گردد.

### مراجع

- James, L. and Lummus, J. (1986). *Drilling fluids optimization a practical field approach*. Penn Well Publishing Company, PP. 122-128.
- Walter, R. ( 1953) . *Composition and properties of oil well drilling fluids*. GulF Publishing Company, PP.

- 295-305.
- 3 - Darley, H. and George, R . ( 1988). *Composition and properties of drilling and completion fluids*. Gulf Publishing Company, PP. 86-91.
- 4 - Mocray, W. ( 1976). *Oil well drilling technology*. University of Oklahoma Norman, PP.121-124.
- 5 - Hale, H. and Cowan, M. ( 1995). *Universal fluids for drilling and cementing wells*. United States Patent, PP.. 151-153.
- 6 - Jones, F., Timothy, H., Hughes, W. and Trevor, M. (1994). *Analysis of drilling fluids*. United States Patent, PP. 33-35.
- 7 - Plomk, F. and Johann, P. (1992) .“Water-based muds using synthetic polymers developed for high temperature drilling.” *Oil and Gas Journal* , Vol. 95, No. 5, PP. 23-25.
- 8 - Beihoffer, H. (1992 ). “Cationic polymer drilling fluid can sometimes replace oil based mud.” *Oil and Gas Journal* , Vol. 93, No. 13, PP. 33-35.
- 9 - Zakarov, L. and konovalon, J. (1992) , “Silicon-based additives improve mud rheology.” *Oil and Gas Journal*, Vol. 91, No. 15, PP. 17-21.
- 10 - Welch , R. (1992). “Cationic polymer mud solves gumbo problems in north sea.” *Oil and Gas Journal*, Vol. 86, No. 5, PP. 25-28.
- 11- Edward, R. (1992). “Rheologically stable, Nontoxic, high-temperature water based drilling fluid.” *Society of Petroleum Engineers*, PP. 286-291.
- 12 - Retz , R. H. (1991). “An environmentally acceptable and field practical cationic polymer mud system.” *Society of Petroleum Engineers*, PP. 123-125.

### واژه‌های انگلیسی به ترتیب استفاده در متن

- 1 - Shear Thinning
- 2 - Complex Fluids
- 3 - Thixotropic
- 4 - Shear Stress
- 5 - Shear Rate
- 6 - Yield Point
- 7 - Plastic Viscosity
- 8 - Apparent Viscosity
- 9- Fluid Loss